



افزایش پهنه‌ای باند CCII برای استفاده در اترنت سریع بی‌سیم نوری

احسان فغفوری

باشگاه پژوهشگران جوان دانشگاه آزاد تبریز

e_faghfouri@yahoo.com

چکیده - در این مقاله مشکلات پهنه‌ای جریان در سیستم‌های اپتیکی بی‌سیم بحث شده و سپس یک تقویت کننده مد جریانی جدید با پهنه‌ای باند گسترده و دامنه دینامیک ورودی وسیع معرفی می‌گردد که برای استفاده در شبکه‌های اترنت سریع بی‌سیم، مناسب می‌باشد. این تقویت کننده مد جریانی برای ایجاد ارتباط ما بین آشکارسازهای نوری ارزان قیمت (با ظرفیت داخلی بزرگ) و تقویت کننده‌های امپدانس بالا، به منظور غلبه بر محدودیت‌های خاص پهنه‌ای باند که توسط مبدل ورودی ایجاد می‌گردد، استفاده می‌شود. اساس معماري تقویت کننده مد جریانی مورد نظر بر پایه یک حامل جریان نسل دوم با امپدانس ورودی پائین، بنا نهاده شده است..

کلید واژه - CCII ، اترنت سریع ، تقویت کننده مد جریانی.

۱- مقدمه

اپتیکی بی‌سیم می‌شود، در کل کار آسانی نخواهد بود. در این ارتباط، چندین مشکل وجود دارد:

۱) امپدانس ورودی تقویت کننده همراه با ظرفیت داخلی بالای آشکارساز که قطب غالبی در پهنه‌ای باند سیستم ایجاد می‌کند.

۲) امپدانس انتقالی بالا، (که برای داشتن حساسیت بالا لازم است) ماقریزم دامنه دینامیک ورودی قابل دسترس را محدود می‌کند و این کار باعث اعمال محدودیت‌های قوی در فاصله ما بین سیستم‌های منبع و مقصد می‌شود.

۳) نویز سیستم، محدودیت کمی بر سطوح سیگنال ورودی گذاشته و دامنه دینامیک ورودی و پهنه‌ای باند سیستم را محدود می‌نماید: کاهش نویز سیستم و افزایش پهنه‌ای باند سیستم به طور توان در کل امری است غیر ممکن. نتیجه

افزایش سرعت ارتباطات در LAN در سایه توسعه فرازینده پهنه‌ای باند به دست می‌آید. به عنوان مثال سرعت در ارتباطات اترنت جریانی کنونی به سهولت به محدوده 100Mb/s رسیده است. این توسعه‌ی بی‌وقفه مشکلات جدی برای اتصالات اپتیکی بی‌سیم فراهم نموده است. افزایش سرعت‌های ارتباط در این سیستم‌ها مستلزم افزایش پهنه‌ای باند مدارهای واسط نوری موجود در این سیستم‌ها است که باعث بروز چندین مشکل تکنیکی می‌شود.

معمولًاً این مدار واسطه نوری از یک آشکارساز (Photodetector : PD) تشکیل می‌شود. افزایش پهنه‌ای باند در یک تقویت کننده امپدانس بالا مپدانس بالاکه باعث افزایش پهنه‌ای باند در سیستم‌های



داده می شود[6][7] که اگر همراه با تکنیک بیان شده در مرجع[8]، برای سیستم‌های نوری بی‌سیم مورد استفاده قرار گیرد، رفتار فرکانسی بهتری برای این مدارهای جریانی به دست خواهد آمد. با توجه به پهنهای باند، بهره جریان و نویز ورودی معادل تعدادی دستورالعمل مطرح شده و همچنین مداری که برای ارتباط بی‌سیم نوری اترنت سریع بهینه‌سازی شده به همراه مدل کامل سیستم ارائه خواهد شد.

2- طرح CCII بهبود یافته و بررسی عملکرد فرکانسی آن

امپدانس ورودی رابطهای بی‌سیم اپتیکی بایستی برای سیستم‌هایی با پهنهای باند زیاد، بینهایت پایین باشد. نسل دوم حامل جریان (CCII) بهترین کاندیداهای برای این منظور هستند، زیرا نشان داده شده است که امپدانس ورودی آن را می‌توان با استفاده از تکنیک‌هایی کاهش داد [8]. بنابراین CCII به عنوان تقویت کننده مدد جریان ورودی، برای سیستم‌های اپتیکی بی‌سیم مناسب به نظر می‌رسد. با این وجود تاثیرات فرکانس بالا در CCII باعث ایجاد مشکلاتی در کارآیی سیستم می‌شود.

2-1- ویژگی‌های CCII بهبود یافته

یک نسل دوم حامل جریان (شکل 1) را می‌توان توسط معادله ماتریسی زیر کاملاً توصیف نمود:

$$\begin{bmatrix} I_y \\ V_x \\ I_z \end{bmatrix} = \begin{bmatrix} g_y & 0 & 0 \\ A_v & r_x & 0 \\ 0 & A_i & g_z \end{bmatrix} \begin{bmatrix} V_y \\ I_x \\ V_z \end{bmatrix} \quad (1)$$

درایه‌های درون ماتریس سیستم، پارامترهای مربوط به حامل جریان که وابسته به فرکانس هستند را نشان می‌دهد.

این که، با داشتن یک آشکارساز خاص، سعی می‌شود ما بین بهره، پهنهای باند، دامنه دینامیک ورودی و نویز مصالحه ای صورت گیرد.[1]

در سال‌های اخیر، گرایش به سمت تکنولوژی مدد جریانی برای طراحی سیستم‌هایی که دارای پهنهای باند و بهره بالا باشند، بیشتر شده است [2][3][4]. به ویژه، استفاده از نسل دوم حامل‌های جریان امکان وجود امپدانس‌های کوچک ورودی را ممکن نموده است. کاهش دادن امپدانس ورودی تقویت کننده به قدمی ضروری در جهت افزایش پهنهای باند سیستم نوری بی‌سیم می‌باشد. می‌دانیم ظرفیت بالای ورودی آشکارساز و امپدانس ورودی بالا، قطبی قوی را در اغلب ورودی‌های شبکه نوری در سیستم‌های نوری بی‌سیم ایجاد می‌کند [5]. آشکارسازهای ساخته شده با استاندارد جهانی به عنوان عاملی اصلی کاهش امپدانس ورودی شناخته شده است. برای جبران یک بافر جریان مجزا بر روی سیستم بی‌سیم نوری به کار گرفته شده است [4]. همچنین نشان داده شده است که [4] این بافر زمانی که مابین آشکارساز و تقویت کننده قرار می‌گیرد می‌تواند 30٪ افزایش در پهنهای باند سیستم بوجود آورد (حتی بدون وجود تقویت کننده‌های امپدانس بالای طرح سنتی).

در ادامه در مورد عوامل اصلی تاثیرگذار در بهبود پهنهای باند مدارهای مدد جریانی که در سیستم‌های بی‌سیم استفاده می‌شود، بحث خواهد شد. این مدارهای مدد جریانی به عنوان بافر واسطه بین مبدل نوری و تقویت کننده‌های امپدانس بالای ساده عمل می‌کند. در این راستا تغییراتی بر روی طرح سنتی کلاس AB نسل دوم حامل‌های جریان



$$r_{xcomp} = r_x - \frac{A_v A_i R_{comp}}{1 + (g_y + g_z) R_{comp}} \quad (2)$$

رابطه (2) نشان می‌دهد که با این طرح فیدبک، امکان

کاهش امپدانس ورودی موثر به مقادیر کوچک دلخواه وجود دارد. با در نظر گرفتن بهره ولتاژ گرههای Y و X و A_v نشانگر بهره همینطور یک مقدار از R_{comp} نزدیک به r_x ترکیب امپدانس ورودی را می‌توان صفر کرد. با این وجود به خاطر رفتار فرکانس بالای غیر ایدهال حامل، پارامترهای ماتریس نیز وابسته به فرکانس خواهد شد. این وابستگی باعث دو رفتار نامطلوب می‌شود: نوسان و یا ماکزیمم شدن بهره جریان. هر دو تاثیر فوق با به حداقل رسانیدن امپدانس ورودی در فرکانس‌های بالا مرتبط هستند. بررسی‌ها نشان می‌دهند که این تاثیرات در صورتیکه مشخصات خروجی Z_b و ورودی X مشابه باشند به حداقل می‌رسد.

3-2 افزایش پهنهای باند

برای رسیدن به پهنهای باند قابل دسترس از یک تقویت کننده مدار جریان مبتنی بر CCII، چهار محدودیت اصلی با این ساختار فیدبک وجود دارد:

(1) جریان‌های پولاریزه کننده (قطبی کننده)

(2) اثر ترانزیستور

(3) مقاومت جبرانی R_{comp}

(4) ظرفیت ذاتی آشکارساز

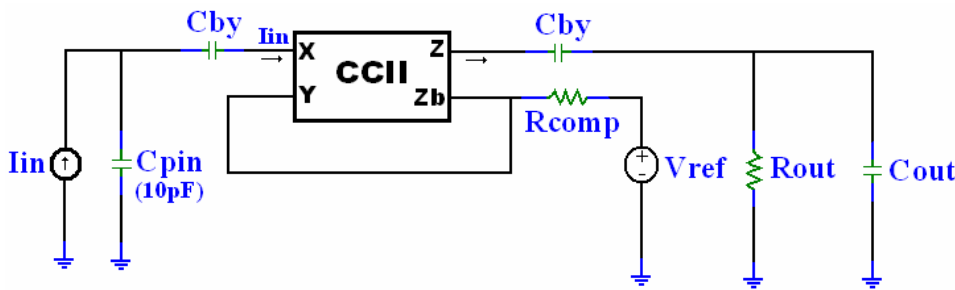
ظرفیت ذاتی آشکارساز نوری عموماً به خاطر ملزمات سیستم (آشکارساز نوری، ولتاژ پلاریزاسیون، سطح وغیره) می‌باشد و معمولاً برای داشتن پهنهای باند زیاد تا حد ممکن، پایین گرفته می‌شود. در غیر این صورت اگر کاهش پهنهای



شکل (1): نسل دوم حامل جریان (بهبود یافته) نشان دهنده بهره ولتاژ گرههای Y و X و A_v نشانگر بهره جریان ما بین ورودی X و خروجی کلی Z است. برای منظور کردن تاثیرات ورودی‌های X, Y و خروجی Z, در ماتریس سیستم، امپدانس‌های موجود در ترمینال‌های X, Y نیز به حساب آورده شده است. اگرچه می‌توان ماتریس سیستم را به صورت ایده‌آل (که تنها از دو پارامتر غیر صفر A_v, A_i تشکیل شده و معمولاً مقادیر امپدانس بسیار پایین دارد) در نظر گرفت ولی، وابسته بودن آن به فرکانس ملزم می‌کند که برای آنالیز فرکانس بالا این مقادیر را نیز در نظر بگیریم.

2-2 کنترل امپدانس ورودی

امپدانس ورودی CCII را می‌توان توسط مدار نشان داده شده در شکل 3 کنترل کرد. (در این شکل مدل‌های نیز برای نشان دادن ظرفیت پارازیتی آشکارساز و بار حامل جریان در نظر گرفته شده است). یک خروجی ساختگی با ویژگی‌های همانند خروجی Z است. پایانه‌های حامل Y و Z_b هر دو به مقاومت کنترل (R_{comp}) متصل شده و به پتانسیل ثابتی وصل گردیده اند. این طرح، فیدبک منفی در امپدانس ورودی مشاهده شده در پایانه X بوجود می‌آورد [8]. وقتی در این طرح از ماتریس رابطه (1) استفاده می‌شود، امپدانس ورودی موثر در پایانه X از رابطه زیر محاسبه می‌گردد:



شکل (2): تقویت کننده مد جریانی CCII

باند تقویت کننده (بدون نیاز به تغییر پارامترهای دیگر می‌شود و با افزایش ابعاد، کاهش می‌یابد. این مقدار W_{opt} نزدیک به 80um در تکنولوژی 0.8um است. این مدار نظر باشد، می‌توان این مقدار را کاهش داد. از جریان‌های پولاریزه کننده در CCII کلاس سنتی AB (شکل 3) می‌توان برای کاهش یا افزایش پهنهای باند تقویت کننده استفاده کرد. با افزایش جریان، طبیعتاً پهنهای باند نیز افزایش می‌یابد. با این وجود، افزایش جریان، امپدانس ورودی را نیز تحت تاثیر قرار می‌دهد و در نهایت می‌تواند به رفتارهای نوسانی منتهی شود. رفتارهای نوسانی را می‌توان با انداختی افزایش R_{comp} از بین برد. و همان طور که از رابطه (2) برمی‌آید به امپدانس‌های ورودی کوچکتر منجر می‌شود). این دو اثر، مقدار بهینه‌ای از جریان پولاریزه کننده ایجاد می‌کنند. علاوه بر این مقدار بهینه، پهنهای باند دیگر با افزایش جریان پولاریزه کننده افزایش نمی‌یابد، زیرا برخی از ترانزیستورها ناحیه عملکرد بهینه خود را ترک می‌کنند.

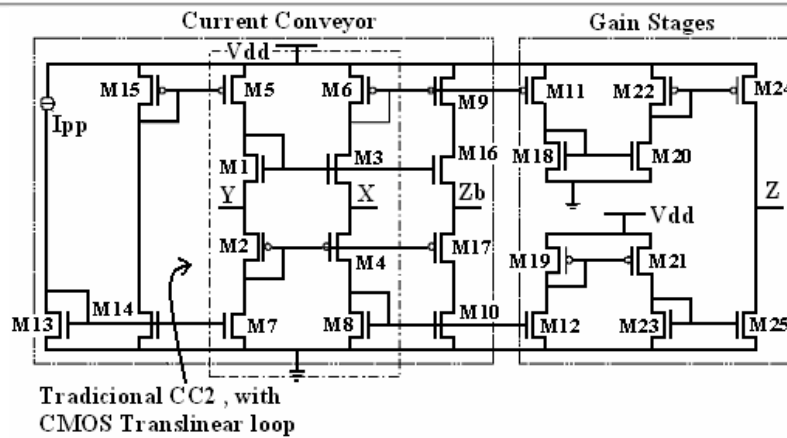
3- معماری تقویت کننده پیشنهادی

تغییراتی را در CCII سنتی همان طور که در شکل 4 نمایش داده شده، ایجاد کرده ایم که براساس رهنمودهای زیر بنا نهاده شده است. این CCII به عنوان یک تقویت کننده مد جریان به همراه آشکارساز در ورودی آن و یک پیکربندی فیدبک (شکل 2) به کار برده می‌شود. این مدار از یک حامل جریان و یک طبقه بهره تشکیل شده که در آن ورودی تقویت کننده، پایانه X حامل و Z خروجی آن AB حامل جریان مایک حامل نسل دوم کلاس AB است. فرکانس بالا می‌باشد.

این نوع از حامل‌های جریان از یک حلقه تراخطی تشکیل شده‌اند، که در اینجا ترکیبی از ترانزیستورهای M_1 الی M_4 می‌باشد. ترانزیستورهای M_{16} و M_{17} خروجی ساختگی Z_b را به وجود می‌آورند که به منظور فراهم آوردن ویژگی‌های مشابه ورودی X طراحی شده است. این

از جریان‌های پولاریزه کننده در CCII کلاس سنتی AB (شکل 3) می‌توان برای کاهش یا افزایش پهنهای باند تقویت کننده استفاده کرد. با افزایش جریان، طبیعتاً پهنهای باند نیز افزایش می‌یابد. با این وجود، افزایش جریان، امپدانس ورودی را نیز تحت تاثیر قرار می‌دهد و در نهایت می‌تواند به رفتارهای نوسانی منتهی شود. رفتارهای نوسانی را می‌توان با انداختی افزایش R_{comp} از بین برد. و همان طور که از رابطه (2) برمی‌آید به امپدانس‌های ورودی کوچکتر منجر می‌شود). این دو اثر، مقدار بهینه‌ای از جریان پولاریزه کننده ایجاد می‌کنند. علاوه بر این مقدار بهینه، پهنهای باند دیگر با افزایش جریان پولاریزه کننده افزایش نمی‌یابد، زیرا برخی از ترانزیستورها ناحیه عملکرد بهینه خود را ترک می‌کنند.

با در نظر گرفتن سایز ترانزیستور، مطالعات برای افزایش پهنهای باند نشان داد که یک مقدار بهینه برای ابعاد ترانزیستورهای موجود در CCII وجود دارد. برای مقادیر بالای یک پهنهای بهینه W_{opt} ، ترانزیستورهای موجود در در حلقه ترا خطی ($M1$, $M4$) (Translinear) پیکربندی شکل (4) پهنهای باند توسط ظرفیت‌های پارازیتی محدود



شکل(3) : حامل جریان بهبود یافته

- 1) طراحی مدار با در نظر گرفتن نسبت ابعاد بزرگتر برای ترانزیستورهای M_1 و M_4 نسبت به ترانزیستورهای دیگر
 - 2) کاهش دادن جریان بایاس (I_{pp})
- اولین استراتژی با ایده‌های بیان شده فوق وقتی جنبه‌های ماکریم کردن پهنه‌ای باند را در نظر بگیریم، سازگار است. اما این سازگاری برای استراتژی دوم وجود ندارد، کاهش I_{pp} باعث کاهش پهنه‌ای باند نیز می‌شود. نتیجه آن که، مدار ما با این ساختار نمی‌تواند حداکثر پهنه‌ای باند ممکن را داشته باشد.

تغییر(صلاح) کوچک رفتار فرکانسی بهتر و بالاتری را تامین می‌کند، تاثیر اصلی این تغییر بر روی بهره جریان A_v (رابطه 4) ما بین ورودی X و خروجی ساختگی Z_b دیده می‌شود. پاسخ فرکانسی بهره جریان بین این دو ترمینال، بهره ای کوچکتر از 1 (یک) همراه با رفتار فرکانسی بالارا نشان می‌دهد، و از این طریق پیکربندی پایدارتری را برای مقادیر کوچکتری از امپدانس ورودی ممکن می‌سازد. طبقه بهره از سه آینه جریان با نسبت بزرگنمایی 2 تشکیل شده است. که بدین ترتیب بهره جریان 6 برای خروجی Z فراهم می‌شود.

2-3 محدوده دینامیک مؤثر ورودی

دامنه ورودی خطی توسط عملکرد حلقه تراخطی تعیین می‌شود. بنابراین با نوشتن معادلات حلقه داریم:

$$\begin{cases} I_{D4} = I_{D3} + I_x \\ |V_{gs1}| + |V_{gs2}| = |V_{gs3}| + |V_{gs4}| \end{cases} \quad (3)$$

با در نظر گرفتن این که تمام ترانزیستورها در ناحیه اشباع کار می‌کنند، رابطه (3) می‌تواند به ترتیب به جریان های I_{D3} ، I_{D4} منجر شود:

$$I_{D3,4} = kI_{pp} \left(1 \pm \frac{I_x}{4kI_{pp}} \right)^2 \quad (4)$$

1-3 بهینه‌سازی نویز

بررسی ها نشان می‌دهند [7] که نویز کلی معادل ورودی در حامل جریان کلاس AB، نسبت مستقیم با مربع ضریب هدایت متقابل ترانزیستورها در آینه‌های جریان و نسبت معکوس با ضریب هدایت متقابل ترانزیستورها در حلقه ترا خطی دارد. بررسی های ما نیز به همان نتایج منتهی شده است. ما از دو استراتژی متفاوت برای کاهش نویز پیروی نموده ایم:



صورت موازی با هم قرار دارند به عنوان بار خروجی در نظر گرفته شده اند. مقدار جریان قطبی کننده I_{pp} ، برابر با 180

است. دو خازن (C_{by}) $(1nF)$ برای حذف جریان آفست (offset) استفاده شده است و بالاخره R_{comp} به مقدار 300 Ω بھینه شده است. با این پارامترها (البته بادر دست داشتن پارامترهای ترانزیستورهای CMOS) مورد نظر شرکت AMS نتایج زیر قابل تحقق خواهد بود:

1) تقویت کننده، بھره جریانی برابر با 18، در پهنهای باند 130MHz.

2) امپدانس ورودی مقداری در حدود 210 Ω تا فرکانس 10MHz دارد، و پیکی در حدود 480 Ω در فرکانس 780MHz نشان می‌دهد و پاسخ فاز تقریباً برای همه باندها صفر است.

3) سطح نویز ورودی در حدود $9.2pA/\sqrt{HZ}$ است که حساسیت تقویت کننده را به 1uA محدود می‌کند.

4) دامنه دینامیکی ورودی 65dB است که برای سیگنال‌های دیجیتالی مورد نظر ما بوده است. (با این فرض، بھره جریان در سیگنال‌های ورودی بزرگ، اندکی کاهش نشان خواهد داد بدون این که با تمامی سیگنال‌ها هماهنگی باشد).

با تقویت کننده مشابه می‌توان پهنهای باند 160MHz را به دست آورد که برای این کار، فقط کافی است جریان قطبی کننده I_{pp} و مقاومت جرمانی R_{comp} و ظرفیت پارازیتی 10pF آشکارساز، ورودی را تنظیم شوند. کاهش ظرفیت آشکارساز هم چنین اجازه می‌دهد که پهنهای باند

که در آن I_{pp} جریان بایاس، I_x جریان ورودی گره X و k نسبت ابعاد بین ابعاد ترانزیستورهای $M_2(M_4)$ و $M_1(M_3)$ است. این نتایج تنها برای مقادیر I_x مابین $4kI_{pp}$ - و $4kI_{pp}$ معتبر می‌باشد، (این مقادیر، مقادیر ماقریم جریان ورودی به عنوان تقریب مرتبه اول) بھره هستند که در آن تقویت کننده وابستگی خطی به جریان ورودی را حفظ می‌کند. رابطه (4) بیان می‌کند که کنترل دامنه دینامیک ورودی از طریق تغییر مقیاس دوباره ابعاد ترانزیستورهای حلقه‌ای تراخطی امکان پذیر است، با این وجود، از آن جایی که برای کاربرد مورد نظر ما به اترنت سریع می‌باشد، خود به خود به خطی بودن نیازی نیست و محدوده دینامیکی موثرمی تواند بزرگتر باشد.

4- نتایج شبیه‌سازی

مدار عملی با تکنولوژی CMOS 0.8 um، متعلق به شرکت AMS با هدف سازگاری ما بین پهنهای باند، نویز و توان مصرفی، اتصالات اپتیکی مسیر در یک اترنت سریع، طراحی شده است. همه ترانزیستورهای NMOS دارای M_1 و M_2 نسبت W/L برابر با $20um/1.2um$ هستند به جز M_3 که با نسبت $70um/1.2um$ طراحی شده اند. ترانزیستورهای M_{12} و M_{20} و M_{25} نیز دارای نسبت طراحی متفاوت $40um/1.2um$ هستند، تا بتوانند مقداری بھره جریان مناسب بین ورودی X و خروجی Z برقرار سازند. تمام ترانزیستورهای PMOS دارای نسبت اندازه 1.4 برابر ترانزیستورهای NMOS هستند.

مدار توسط آشکارساز با ظرفیت پارازیتی 10PF شبیه سازی شده است. مقاومت 50Ω و خازن 10PF که به



سازی عملکرد سیستم از پارامترهای مربوط به تکنولوژی AMS استفاده گردد.

تقویت کننده به مقادیر 350MHz تغییر یابد، در حالی که هنوز دامنه دینامیکی ورودی زیادی را دارد.

5- نتیجه‌گیری

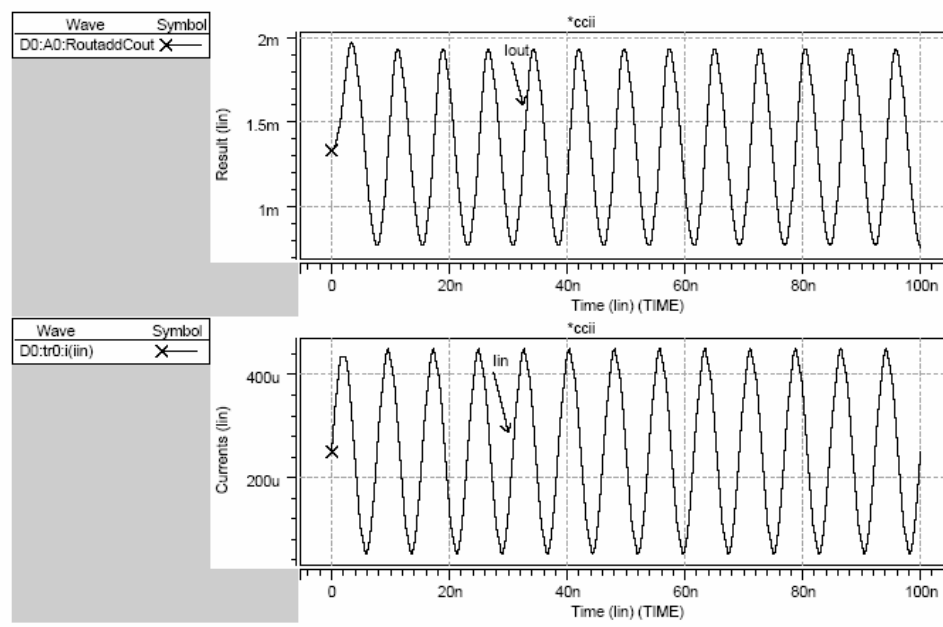
یک حامل جریان نسل دوم کلاس AB بهبود یافته، معرفی شد. این حامل، کنترل امپدانس بهتری (وقتی به عنوان تقویت کننده مد جریانی، بین گره‌های X,Z قرار می‌گیرد) نسبت به حامل‌های قبلی که به دامنه دینامیک بالای نیازمند بودند، از خود به نمایش گذاشت. این مدار می‌تواند بسته به ظرفیت آشکارساز، پهنای باندی تا حدود 350MHz را نشان دهند. مدار پیشنهاد شده برای کاربردهای اپتیکی بی‌سیم اترنت سریع بهینه‌سازی شده است (شکل 5) و می‌تواند ماکزیمم دامنه دینامیکی ورودی در حدود 65dB را با توان مصرفی 12mw ارائه نمایند. این مدل‌ها برای ارتباطات اپتیکی به فواصل 1 تا 2 کیلومتر مناسب است.

نتایج فوق برای مدار با تکنولوژی CMOS 0.8um و با Level 49 که متعلق به شرکت AMS است، بدست آمده اند. اما به علت در اختیار نداشتن پارامترها و عدم در اختیار گذاردن این پارامترها از طرف شرکت AMS جهت آنالیز در نرم افزار Hspice(2004)، به ناچار به صورت تئوری و آنالیز با استفاده از پارامترهای تکنولوژی دیگر صورت گرفت. اما به علت عدم سازگاری طرح با تکنولوژی مربوطه نتایج دلخواه بدست نیامد. افت بهره، تغییر رفتار فرکانسی سیستم، تغییرات ناگهانی امپدانس ورودی در جاروب AC از معایبی بود که در استفاده از تکنولوژی جدید بدست آمد. با تغییر W/L چند CMOS سعی شد تابه‌ره سیستم در فرکانس مورد نظر افزایش داده شود، برای این کار، مقادیر W/L ترانزیستورهای M₁₂ و M₂₀ و M₂₅ 100um/1.2um تغییر یافت که در نتیجه این تغییر مولفه های A_D, A_S, P_D, P_S (که رابطه مستقیم با W/L دارند) نیز تغییر یافتند. رابطه زیر بیانگر این تغییر است :

$$P_s = P_D = W + L_{min} \quad (5)$$

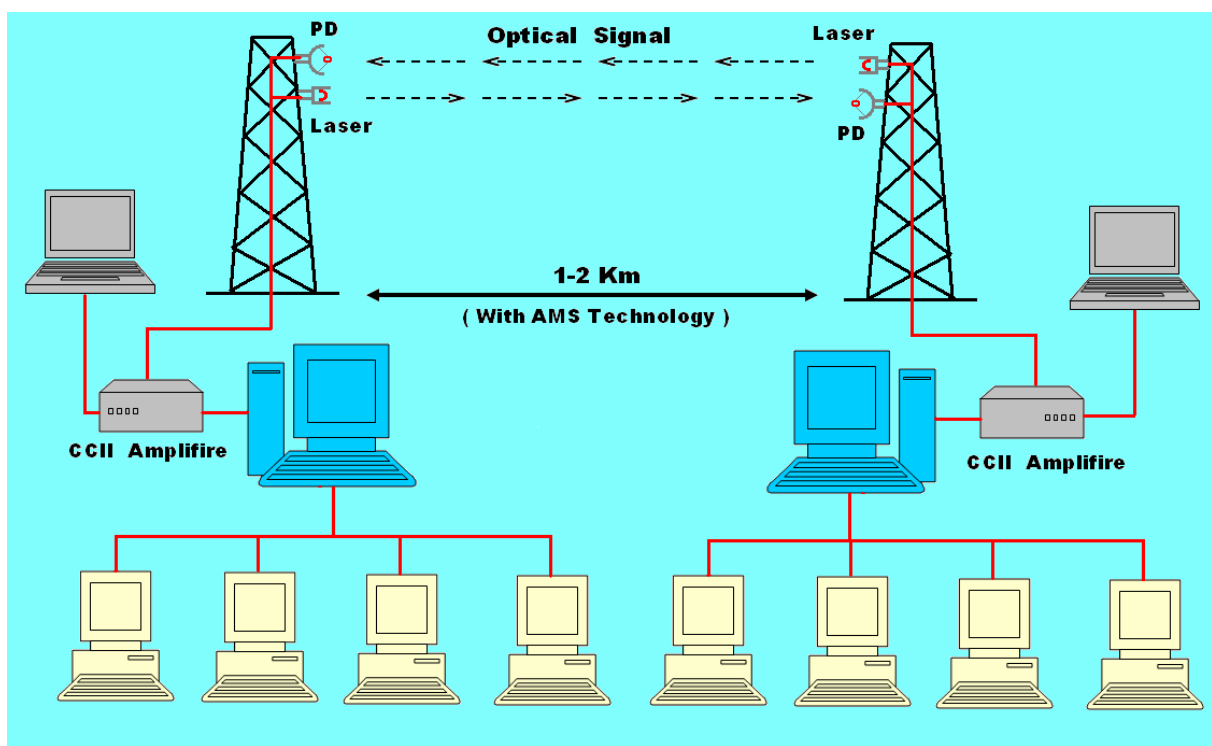
$$A_s = A_D = W * L_{min}$$

بدین ترتیب بهره 9dB در فرکانس 130MHz از این سیستم گرفته شد (شکل 4)، اما این تغییرات تاحدودی پاسخ فرکانسی (به خصوص در فرکانس‌های بالای 100MHz)، امپدانس ورودی و همچنین حساسیت سیستم نسبت به نویز را تحت تاثیر قرار داد که توصیه می‌شود جهت بهینه



شکل(4): جریان ورودی و جریان خروجی

منحنی ها با استفاده از پارامترهای موجود و W/L های تغییر یافته (با استفاده از نرم افزار Hspice 2004) بدست آمده اند.



شکل (5) : دیاگرام اترنت سریع بی سیم نوری با استفاده از CCII بهبود یافته



دپارتمان الکترونیک و مخابرات سنتیاگو- پرتقال و دکتر

سپاسگذاری

شهرام مینائی از دانشکده مهندسی الکترونیک و کامپیوتر

در پایان از کمک های دکتر حسن رسولی سقای از دانشگاه

استانبول- ترکیه کمال تشکر را دارد.

آزاد علوم و تحقیقات تهران- ایران و دکتر لوئیز نرو آلوز از

مراجع

- [1] R.L. Aguiar, A. Tavares, J.L. Cura, E. Vasconcelos, L.N. Alves, R. Valadas, D.M. Santos, "Considerations on the design of transceivers for wireless optical LANs", IEE Electronics & Communications, Colloquium on Optical Wireless Communications, London, England, Jun. 1999.
- [2] T. Ruotsalainen, P. Palojärvi, J. Kostamovaara, "A Current-Mode Gain-Control Scheme with Constant Bandwidth and Propagation Delay for a Transimpedance Preamplifier", IEEE Journal of Solid State Circuits, Vol. 34, February 1999.
- [3] C.H. Lee, J. Cornish, K. McClellan, J. Choma Jr., "Current-Mode Approach for Wide-Gain Bandwidth Product Architecture", IEEE Trans. Cir. Sys. II, Vol. 45, May 1998.
- [4] L.N. Alves, R.L. Aguiar, "A Differential Current-ConveyorBased Buffer for High-Bandwidth Low-Signal Applications", ICECS99, Paphos, Cyprus, Sep. 1999.
- [5] E. de Vasconcelos, J.L. Cura, R.L. Aguiar, D.M. Santos, "ANovel High-Gain, High-Bandwidth CMOS Differential Front-End for Wireless Optical Systems", ISCAS99 Orlando, Florida, May 1999.
- [6] T. Kurashina, S. Ogawa, K. Watanabe, " A High Performance Class AB Current Conveyor", ISCAS98 Monterey, Florida, May 1998.
- [7] E. Bruun, "Noise Properties of CMOS Current Conveyors", ISCAS96, Atlanta, May 1996.
- [8] G. Palumbo, S. Pennisi, " A Technique for the Reduction of the Input Resistance of Current-Mode Circuits, ISCAS98 Monterey, Florida, May 1998.